

Ю.В. Анищенко, В.Ю. Гальперин, В.А. Радков, В.В. Сычев

ИОНИЗАЦИОННЫЕ ПОТЕРИ В ВОЗДУХЕ УФ-ИЗЛУЧЕНИЯ С ДЛИНОЙ ВОЛНЫ 248 НМ

В работе на базе экспериментальных данных получена формула для потерь мощности излучения KrF-лазера ($\lambda = 248$ нм) на многоквантовую ионизацию воздуха при атмосферном давлении в зависимости от интенсивности излучения и расстояния по трассе.

Интенсивное лазерное излучение с длиной волны 200 ... 400 нм, проходя через газообразные среды, испытывает нелинейное ослабление, ионизационные потери. Как показано в работе [1], вероятность ионизации степенным образом зависит от плотности мощности излучения

$$W \sim J^k. \quad (1)$$

Причем k — дробное число, равное отношению потенциала ионизации I к энергии кванта $f i_1 \omega$ (f — потенциал ионизации молекулы (атома) в чистых молекулярных (атомарных) газах). Этот процесс существенно отличается от многофотонной ионизации, где k равно целому числу квантов, необходимых для его энергетической возможности. Многофотонная ионизация наблюдается в разреженных газах и означает одновременное действие квантов [2] на молекулу k . В работе [1] ионизация воздуха лазерным излучением с длиной волны 266 нм (4-я гармоника лазера на алюмоиттриевом гранате, активированном Nd³⁺) изучалась в газах при давлении, близком к атмосферному. В этом случае важны соударения молекул. Процесс носит скорее каскадный характер. Однако отличается и от того, что принято называть каскадной ионизацией, так как молекула может терять энергию, разменивая ее с партнером по соударению. В дальнейшем будем называть его многоквантовой ионизацией (МКИ). Как показано в работе [1], этот процесс эффективен и его исследование актуально, так как он влияет на распространение в атмосфере УФ-излучения. Ионизационные потери могут повлиять на дальность исследования атмосферы с помощью таких эксимерных лазеров, как ArF-, KrF- и XeCl-лазеры. Кроме того, процесс ионизации отразится на характеристиках спектра люминесценции газа, стимулированной оптическим излучением диапазона 200 ... 300 нм. Использование МКИ в спектроскопии открывает очевидно, новые еще не изученные возможности.

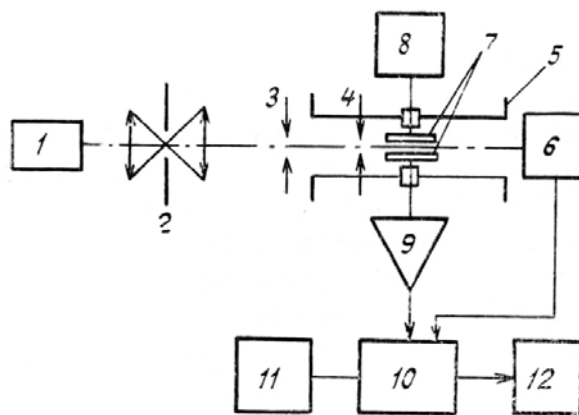


Рис. 1. Принципиальная схема установки

В настоящей статье рассматривается ионизация воздуха при атмосферном давлении пучком излучения KrF-лазера, при $\lambda = 248$ нм. Приводятся формулы ионизационных потерь dj/dx , длины полувинного ослабления плотности мощности, зависимость $j(x)$.

Экспериментальная установка. Источником излучения служил KrF-лазер 1 (рис. 1) производства СКВ ИОФ АН СССР модель 1701. Пучок пропускался через пространственный фильтр 2, диафрагмы 3 и 4, поступал в ионизационную камеру 5, а затем на фотокатод ФЭУ-142 6, нечувствительного к видимому свету. Плоские электроды камеры 7 диаметром 35 мм находились на расстоянии 5,5 мм друг от друга. Один из электродов присоединялся к источнику высокого напряжения 8, другой, собирающий, — к входу, зарядово-чувствительного предусилиителя 9 с уровнем шумов 0,2 мкВ в

полосе 10^4 Гц и с коэффициентом усиления $2 \cdot 10^3$. Сигнал с предусилителя поступал на вход двухлучевого осциллографа С1-55 10, на его второй вход подавался импульс с ФЭУ. Амплитуды обоих импульсов регистрировались двумя цифровыми вольтметрами 11, 12, работающими синхронно с разверткой осциллографа. Линейности трактов проверялись в пределах 70 дБ с помощью генератора прямоугольных импульсов. Линейность ФЭУ контролировалась с помощью набора идентичных фильтров УФС-1. Количественная зависимость величины импульса напряжения в тракте измерения ионизации от числа электронов в промежутке между электродами определялась с помощью α -частиц, испускаемых коллимированным источником Ru^{238} . Величина сигнала от α -частицы варьировалась около 100 мВ (98 ± 2). Среднеквадратический размах шумов составлял $\pm 0,4$ мВ. Импульсная мощность УФ-излучения измерялась с помощью калориметра ИМО-2М. При этом импульсы поступали с частотой 12,5 Гц.

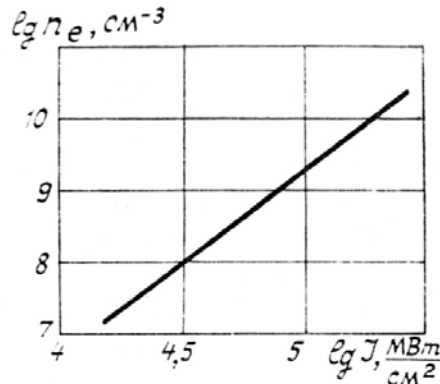


Рис. 2. Зависимость $n_e(j)$ в логарифмическом масштабе в воздухе при нормальных условиях.
Ошибки в пределах толщины линии

Результаты измерения и их обсуждение. Типичная зависимость концентрации электронов в камере от плотности мощности лазерного излучения представлена на рис. 2 в двойном логарифмическом масштабе. Прямая линия — результат обработки на ЭВМ множества экспериментальных данных. Наклон прямой k равен $2,41 \pm 0,06$. Ошибка среднеквадратическая с 5%-м критерием значимости. Нормированная зависимость концентрации электронов $n_e \text{ см}^{-3}$ от плотности мощности j выражается как

$$n_e = Cj^k = (5_{-2}^{+4}) \cdot 10^{11} j^{2,41}, \quad (2)$$

где C — функция k ; j — нормированная плотность потока, $j = I/I_h$, причем $I_h = 10^6 \text{ Вт/см}^2$. Следует подчеркнуть, что k равно отношению потенциала ионизации кислорода $I = 12,07$ к энергии кванта $f\omega = 5,0 \text{ эВ}$. Кислород составляет лишь приблизительно $1/5$ состава воздуха, однако из макроскопических его компонентов имеет самый низкий потенциал ионизации. Таким образом, k соответствует отношению потенциала ионизации молекулярного компонента в смеси газов с наименьшим потенциалом ионизации к энергии кванта. Вывод этот не нов [1]. То же самое имело место при исследовании процесса многоквантовой ионизации воздуха УФ-излучением с длиной волны 266 нм, а также смеси газов $\text{He} + \text{CO}_2 + \text{N}_2$ в пропорции 1:1:1. Измерение k можно использовать для определения неизвестного газового компонента — примеси к известному газу, имеющему высокий потенциал ионизации, например, к Не. Таким же способом можно определить или уточнить потенциал ионизации исследуемого вещества в газообразной фазе. Минимальное количество примеси ориентировочно можно определить из соотношения

$$N > \frac{1}{\sigma_t \langle v \rangle \tau} \quad (3)$$

где σ_t — газокинетическое эффективное сечение столкновения молекул; $\langle v \rangle$ — средняя скорость молекул; τ — длительность импульса оптического излучения. Неравенство (3) означает, что, находясь в поле волны, молекула испытывает несколько столкновений.

Рассмотрим ионизационные потери излучения с энергией кванта $f\omega$, обусловленные нелинейным МКИ-процессом. Изменение плотности излучения на единице длины составляет

$$\frac{dj}{dx} = -C' j^k \beta \frac{I}{J_h}, \quad (4)$$

где $C'j^\kappa$ — интенсивность ионизации, $\text{с}^{-1} \cdot \text{см}^{-3}$; β — величина, показывающая, во сколько раз для образования одной пары ионов в среднем требуется энергии больше, чем I .

Интегрируя (4), выразим плотность мощности на расстоянии x ; через $x_{1/2}$ — расстояние, на котором теряется половина начальной плотности мощности j_0 . В воздухе

$$j(x) = \frac{j_0}{(1 + 1,6x/x_{1/2})^{0,71}}. \quad (5)$$

Выражение для длины полупоглощения начальной мощности имеет вид

$$x_{1/2} = \frac{J_u/\hbar\omega}{2C'\beta j_0^{1,41}}. \quad (6)$$

Входящая в (4)–(6) величина C' пока не определена. Теоретическое выражение C' требует решения системы кинетических уравнений с использованием матричных элементов перехода молекул вверх по энергетической шкале во взаимодействии с полем УФ-излучения и вниз при столкновениях, ударами второго рода.

Определим C' из экспериментальных данных. Собираемый анодом камеры заряд зависит как от выхода фотоэлектронов, так и от скорости диссипативных процессов — прилипания и рекомбинации электронов. Уравнение баланса имеет вид

$$\frac{dn_e}{dt} = C'j^\kappa - \alpha n_e^2 - \delta n_e, \quad (7)$$

где α — коэффициент рекомбинации; δ — частота прилипания.

В условиях эксперимента второй и третий члены правой части уравнения (7) много меньше первого члена, поскольку в электрическом поле камеры с напряжением 5 кВ/см время рекомбинации и прилипания значительно больше длительности импульса УФ-излучения ($\tau = 30$ нс). Пренебрегая вторым и третьим членами и интегрируя (7), имеем решение упрощенного уравнения

$$n_e = C'\tau j^\kappa \quad (8)$$

и, сравнивая с (2), получим

$$C' = \frac{C}{\tau} = 1,5 \cdot 10^{19} \text{ с}^{-1} \cdot \text{см}^{-3}. \quad (9)$$

Располагая значением C' , найдем простое выражение для длины полупоглощения в воздухе излучения с $\lambda = 248$ нм.

$$x_{1/2} = \frac{0,4}{j_0^{1,41}}, \quad (10)$$

где j_0 выражается в МВт/см², $x_{1/2}$ — в км.

Используя формулы (5)–(10) для практических расчетов, необходимо учесть расходимость пучка и конкретные условия распространения — расстояние, линейное поглощение и т. п.

Авторы выражают благодарность Б.Г. Горшкову, В.П. Кутахову и С.Н. Степаненко за полезную дискуссию.

1. Анищенко Ю. В. // Письма в ЖЭТФ. 1986. Т. 43. № 1. С. 21–23.
2. Делоне Н. Б. // УФН. 1975. Т. 115. С. 361.

Военно-Воздушная Инженерная
Академия им. Н.Е. Жуковского

Поступила в редакцию
3 января 1990 г.

U.V. Anischenko, V.U. Galperin, V.A. Radkov, V.V. Sychev. Ionization Losses of UV Radiation ($\lambda = 248$ nm) in Air.

This paper deals with an experimental study of multiquantum ionization of air by KrF laser at atmospheric pressure. Expression for laser power losses due to ionization versus laser intensity and propagation distance is presented.